

بِسْمِ اللّٰهِ الرَّحْمٰنِ الرَّحِيْمِ

دانشگاه بیرجند

دانشکده علوم

گروه فیزیک

پایان نامه کارشناسی ارشد فیزیک حالت جامد

عنوان:

ارائه مدلی سینماتیکی برای پیش روی ناشی از اثر مویینگی در نanolوله ها

استاد راهنما:

دکتر فاطمه ابراهیمی

نگارش:

حمیده ابطحی نیا

فرم شماره ۱۰

صورتجلسه دفاع از پایان نامه کارشناسی ارشد



با تاییدات خداوند متعال جلسه دفاع از پایان نامه تحصیلی کارشناسی ارشد خانم حمیده ابطحی نیا به شماره
دانشجویی: ۸۵۱۳۱۰۴۰۴۸ رشته: فیزیک گرایش: دانشکده: علوم

تحت عنوان: ارائه مدلی سینماتیکی برای پیش روی ناشی از اثر مویینگی در نanolوله ها
به ارزش: ۶ واحد در ساعت: ۱۰ صبح روز: شنبه مورخ: ۸۸/۶/۲۱

با حضور اعضای محترم جلسه دفاع و نماینده تحصیلات تکمیلی به شرح ذیل تشکیل گردید:

امضاء	رتبه علمی	نام و نام خانوادگی	سمت
	استادیار	خانم دکتر فاطمه ابراهیمی	استاد راهنمای اول
	—	—	استاد راهنمای دوم
	—	—	استاد مشاور اول
	—	—	استاد مشاور دوم
	استادیار	آقای دکتر احمد امیرآبادی زاده	داور اول
	دانشیار	آقای دکتر بهزاد حقیقی	داور دوم
	استادیار	دکتر رضا پژوهش	نماینده تحصیلات تکمیلی

نتیجه ارزیابی دفاع که منوط به ارائه اصلاحات پیشنهادی توسط هیئت داوران حداکثر ظرف مدت یکماه پس از
تاریخ دفاع می باشد، به شرح زیر مورد تایید قرار گرفت:

قبول (با درجه: عالی و امتیاز: ۱۹/۲۰) دفاع مجدد غیرقابل قبول

۱- عالی (۱۹-۲۰) ۲- بسیار خوب (۱۸/۹۹ - ۱۸) ۳- خوب (۱۷/۹۹ - ۱۶) ۴- قابل قبول (۱۵/۹۹ - ۱۴)

(بديهی است عوقب آموزشی ناشی از عدم ارائه به موقع اصلاحات مذبور به عهده دانشجو می باشد)

کلیه مزایا اعم از چاپ، تکثیر، نسخه‌برداری، ترجمه، اقتباس و ... از پایان‌نامه کارشناسی ارشد، برای دانشگاه بیرجند محفوظ می‌باشد.

نقل مطالب با ذکر منبع بلامانع است.

تەقىيەم بە

كۈرامىت دەستانن پەرە

قلب رئۆف مادىرە

احساس پاڭى خواھىرانىم

محبىت واقۇى دەۋستانىم

9

لطفىت حضور ساراى عزيزم

سپاسگذاری

یزدان بلندمرتبه را به جهت یاری دادن و همراهی در مراحل تحصیل، سپاس می‌گوییم، که همانا رمز موفقیت‌ها می‌باشد.

پس از حمد و سپاس خداوند متعال، برخود لازم می‌دانم از تمامی عزیزانی که به نحوی در به شمر رسیدن این کار تحقیقی مرا مرهون مساعدت و همکاری خود نمودند، صمیمانه تشکر و قدردانی نمایم. هرچند ذکر نام همه این عزیزان در این مقام میسر نیست اما نامبردن از بزرگوارانی که سهم بیشتری در انجام پژوهش داشتند و بهطور مستقیم از راهنمایی و مساعدت آن‌ها بهره جسته‌ام، کمترین ادای دینی است که می‌توانم به آن‌ها داشته باشم. سراسر وجود اگر به تقدیر از مهربان پدر و نازنین مادر و مهربان خواهرانم، واژه واژه تشکر شوند، تنها برگ سبزی خواهند بود، به تلافی هزاران دشت سبزی و صفا.

تقدیر و تشکر از استاد فرزانه، سرکار خانم دکتر فاطمه ابراهیمی که راهنمایی این تحقیق را بر عهده داشتند و از محضر ایشان علاوه بر اندوختن توشه علمی، درس انسانیت آموختم.

تقدیر و تشکر از استاد گرامی جناب آقای دکتر احمد امیرآبادی‌زاده و جناب آقای دکتر بهزاد حقیقی که با حسن نیت و داوری مناسب نقاط ضعف و قوت این تحقیق را با نکته سنجی‌های ظریف و دقیق ارائه نمودند تا تحقیق مطلوب‌تری ارائه گردد.

تقدیر و تشکر از جناب آقای دکتر رضا پژوهش که به عنوان نماینده تحصیلات تکمیلی قبول زحمت فرمودند. تقدیر و تشکر از زحمات مدیریت محترم گروه فیزیک جناب آقای دکتر نفیسی و تمامی استادی خود در گروه فیزیک دانشگاه بیرون گردید که به مدت هفت سال در حضورشان طلب علم نموده‌ام و هم‌چنین خانم نخعی منشی گروه فیزیک.

تقدیر و تشکر از جناب آقای دکتر میری و دانشجویان تحصیلات تکمیلی گروه فیزیک و گروه آمار به‌ویژه خانم‌ها زهره احمدی، مریم السادات جعفریان و فاطمه شفیعی بابت مباحثات علمی خوبی که با من داشته و مرا در تکمیل پرورش یاری نمودند.

در پایان از کلیه دوستان عزیزی که توانستم ذره‌ای از دریای علم و معرفت آن‌ها استفاده کنم، تشکر و قدردانی نموده و سلامتی، موفقیت، پیروزی و کامیابی همه آن‌ها را از درگاه خداوند متعال خواستار هستم.

حمیده ابطحی‌نیا

تابستان ۱۳۸۸

چکیده

هنگامی که یک لوله مویین در داخل ظرف مایع فرومی‌رود، مایع به سرعت به درون آن جریان می‌یابد. این پدیده در مقیاس ماکروسکوپیکی به خوبی شناخته شده است، اما جزئیات بالارفتن ناشی از مویینگی در مقیاس نانو هنوز به درستی مشخص نیست. یکی از نتایج جالب شبیه‌سازی‌های دقیق کامپیوتوری که تا کنون انجام شده، کندشدن فرایند آبگیری در نانوحفرهای بسیار باریک است. علی‌رغم این‌که فرایند آبگیری یک فرایند تراپری و غیرتعادلی است، اما شواهد تجربی برخی از شبیه‌سازی‌ها حاکی از آن است که این‌ویژگی غیرمعمول شارش در نانوحفرهای را می‌توان به رفتار شاره در حالت تعادل مربوط کرد و کندشدن فرایند آبگیری را با استفاده از منظم شدن و ساختار یافته شدن شاره محدود شده و با در-نظر گرفتن اثر پتانسیل دیوارهای در حالت تعادلی و برای یک شاره ساکن و فاقد حرکت انتقالی رو به جلو بررسی نمود.

بر این اساس بر آن شدیم که با استفاده از روش شبیه‌سازی مونت‌کارلو بندادی (کانونیک)، به بررسی ویژگی پیکربندی‌های تعادلی شاره محدودشده در یک حفره بسیار طویل با مقطع مربعی بپردازیم و میزان نظم یافتگی سیستم را که به گمان ما عامل کندشدن فرایند آبگیری در نانوحفرهای بسیار باریک است، بررسی کنیم. بدین منظور با محاسبه پارامتر نظم سیستم، تاثیر عوامل مختلفی از جمله ابعاد نانوحفره، قدرت اندرکنش شاره- دیواره، دما و پارامتر نسبی اندازه را بر حالت‌های تعادلی فضای فاز سیستم بررسی نمودیم. تعیین درجه اهمیت تغییر هریک از عوامل ذکر شده بر نظم سیستم و نیز یافتن شرایطی که تحت این شرایط هر یک از این عوامل بیشترین تاثیر را بر نظم می‌گذارند، نیز از جمله اهداف این تحقیق به شمار می‌رود. تغییرات پارامتر نظم سیستم در چنین نانوحفرهایی نشان می‌دهد که شاره در نانوحفرهایی با پهنه‌ای تنها چند قطر ملکولی و تحت تاثیر اندرکنش جاذب قوی دیواره و به ویژه در دماهای پایین ساختار منظمی پیدا می‌کند و دارای ویژگی‌های شبیه جامدات است و همین امر موجب سختی حرکت لایه‌های ملکولی شاره بر روی یکدیگر شده و درنتیجه آبگیری با کندی بسیار انجام می‌گیرد.

نتایج ما حاکی از آن است که در بین عوامل موثر بر نظم یافتگی سیستم، نقش سطح مقطع نانوحفره بسیار قابل توجه است و تاثیر هر یک از دیگر پارامترها از جمله دما، قدرت اندرکنش شاره- دیواره و حتی پارامتر نسبی اندازه پتانسیل اندرکنشی شاره- دیواره تنها در نانوحفرهای بسیار باریک و دارای پهنه‌ای در حدود چند قطر ملکولی قابل مشاهده خواهد بود.

فهرست مطالب

عنوان	صفحه
فصل اول: نظریه ماکروسکوپیکی مویینگی	۱
۱-۱ مویینگی	۲
۱-۲ قانون بالاًمدن ناشی از مویینگی	۵
۱-۳ معادله لوکاس- واشبورن	۷
۱-۴ طول لغزش	۱۰
فصل دوم: مویینگی در مقیاس نانو	۱۳
۱-۲ مقدمه	۱۴
۲-۱ اعتبار معادله لوکاس- واشبورن در مقیاس نانو	۱۵
۲-۲-۱ نتایج مطالعات تجربی	۱۶
۲-۲-۲ نتایج مطالعات نظری	۱۷
۳-۲ ظهور طول لغزش در معادله لوکاس- واشبورن	۲۲
۴-۲ کندشدن آهنگ آبگیری در مویین‌های بسیار باریک	۲۶
۵-۲ محاسبه ارتفاع بالاًمدن ناشی از مویینگی در مویین‌های بسیار باریک	۲۸
۶-۲ شاره‌های محدودشده	۲۹
۷-۲ نیروهای سطحی و بین ملکولی	۳۰
۷-۲-۱ نیروهای سطحی	۳۰
۷-۲-۲ DLVO نظریه	۳۱
۷-۲-۳ نیروهای حلال‌پوشی	۳۱
۷-۲-۴ ابزار نیروی سطحی	۳۳
۷-۲-۵-۱ اساس اندازه گیری نیرو در SFA	۳۵
۷-۲-۵-۲ نیروی نوسانی در فیلم‌های مایع	۳۶
۸-۲ مایعات مورد استفاده در مطالعه فیلم‌های مایع	۳۷
۹-۲ آبکشی فیلم‌های نازک مایع	۳۸

۴۴	۱۰-۲ لایه شدگی
۴۷	۱۱-۲ معیارهای جامدشده فیلم‌های مایع نازک
۴۸	۱-۱۱-۲ تابع همبستگی زوج
۵۲	فصل سوم: شبیه‌سازی مونت کارلو
۵۳	۱-۳ اهمیت شبیه‌سازی
۵۴	۲-۳ شبیه‌سازی مونت کارلو
۵۵	۳-۳ روش مونت کارلو
۵۶	۴-۳ روش متropolis
۵۹	۵-۳ یک الگوریتم پایه ای مونت کارلو
۵۹	۱-۵-۳ الگوریتم
۶۰	۶-۳ جزئیات تکنیکی
۶۰	۱-۶-۳ شرایط مرزی
۶۱	۲-۶-۳ جابه‌جایی تک جزء
۶۱	۳-۶-۳ حذف اندرکنش‌ها (قطع پتانسیل)
۶۳	۴-۶-۳ شرایط اولیه
۶۳	۷-۳ رسیدن به تعادل
۶۴	۸-۳ واحدهای کاهش یافته
۶۵	۹-۳ توابع پتانسیل بین ملکولی
۶۵	۱-۹-۳ پتانسیل لنارد_جونز
۶۶	۲-۹-۳ پتانسیل استیل
۷۰	فصل چهارم: نتایج
۷۱	۱-۴ مقدمه
۷۱	۲-۴ روش شبیه‌سازی
۷۴	۳-۴ پارامتر نظم
۷۵	۴-۴ مدل
۷۶	۵-۴ توابع پتانسیل بین ملکولی
۸۰	۶-۴ واحدهای کاهش یافته
۸۱	۷-۴ نتایج
۸۱	۱-۷-۴ بررسی تاثیر تغییرات پهنهای شکاف بر نظم سیستم
۹۶	۲-۷-۴ بررسی تاثیر قدرت پتانسیل دیواره بر نظم سیستم
۱۰۳	۳-۷-۴ بررسی تاثیر دما بر نظم سیستم
۱۱۱	۴-۷-۴ بررسی تاثیر پارامتر اندازه لنارد_جونز بر نظم سیستم

۱۱۶	جمع‌بندی
۱۱۸	پیشنهادات
۱۱۹	مراجع
۱۲۳	پیوست الف : معادله لوکاس- واشبورن برای جرم بالارونده
۱۲۴	پیوست ب : پتانسیل ۳-۴-۱۰ استیل
۱۳۲	پیوست ج : نانوشکاف

فهرست جدول‌ها

عنوان	صفحه
جدول (۱-۲): انواع نیروهای سطحی و برد آنها	۳۰
جدول (۲-۲): ساختار و خواص مایعات مورد استفاده	۳۸
جدول (۳-۲): جدول تعیین ضخامت لایه چسبنده	۳۹
جدول (۴-۱): مربوط به یکاهای کاهیده و یکاهای واقعی پارامترهای اندرکنش شاره - شاره و شاره - دیواره، آرگون و دیواره‌های گرافیتی	۸۰
جدول (۲-۴): جدول کمیات و پارامترهای موثر بر آهنگ آبگیری و نحوه تاثیر آن‌ها بر پارامتر نظم سیستم و آهنگ آبگیری	۱۱۷
جدول (الف-۱): عبارات مربوط به سری‌های فوریه ارزی‌های گاز-جامد شبکه‌های خاص	۱۳۱

فهرست شکل‌ها

عنوان	صفحه
شکل (۱-۱): نیروهای وارد بر ملکول واقع در سطح مایع در مقایسه با ملکولی که درون مایع کپهای قرار دارد.....	۴
شکل (۲-۱) : بالارفتن مایع از مویین‌های با قطر متفاوت.....	۵
شکل (۳-۱): کشش‌های سطحی بین سه فاز مایع، جامد و بخار.....	۵
شکل (۴-۱): مایعی که تا ارتفاع $H(t)$ در یک مویین بالا رفته است.....	۹
شکل (۵-۱): شاره درون نانو حفره را در دو حالت شرایط مرزی هیدرودینامیکی لغزشی و غیرلغزشی ...	۱۰
شکل (۶-۱): طول لغزش δ بر حسب قدرت اندرکنش شاره-دیواره ϵ_{fw}^*	۱۱
شکل (۷-۱): تاثیر اندازه نسبی ملکول‌های جامد و شارها و ϵ_{fw}^* بر زاویه تماس و طول لغزش	۱۲
شکل (۱-۲): جرم بالارونده آب، آن-هگزادکان و $8OCB$ بر حسب t و $t^{\frac{1}{2}}$	۱۶
شکل (۲-۲): نanolوله‌ی استوانه‌ای با شعاع $R = 10$ که در شبیه سازی‌های بیندر از آن استفاده شده است.....	۱۷
شکل (۳-۲): نمودار مربوط به چگالی میانگین شاره $(z)\rho$ در مویین در زمان‌های مختلف و به ازای $\epsilon_{wl} = 1,4$	۱۸
شکل (۴-۲): نمودار سرعت انحناء متحرک برای $\epsilon_{wl} = 1,4$	۱۸
شکل (۵-۲): نمودار چگالی شاره لنارد جونز را در محدوده انحنای	۱۸
شکل (۶-۲): مربوط به تکامل تدریجی $H(t)$ مربوط به یک شاره ساده نیوتونی LJ با زمان به ازای مقادیر مختلف ϵ_{wl}	۱۹
شکل (۷-۲): مقطع نanolوله‌ی استوانه‌ای با شعاع $R = 10$ در حین آبگیری اجباری در اثر فشار خارجی P_{ext}	۱۹
شکل (۸-۲): آهنگ آبگیری $v = dH^2(t)/dt$ بر حسب فشار خارجی P_{ext} را به ازای دو مقدار ϵ_{wl}	۲۰
شکل (۹-۲): نمودار فشار لاپلاس P_L بر حسب قدرت اندرکنش دیواره-مایع ϵ_{wl}	۲۱
شکل (۱۰-۲): ضریب اصطکاک $\eta/2\kappa$ بر حسب ϵ_{wl}	۲۱
شکل (۱۱-۲): تکامل تدریجی $H(t)$ مربوط به یک پلیمر کوتاه انعطاف‌پذیر (کش‌دار) با زمان، برای مقادیر مختلف ϵ_{wl}	۲۲

شکل(۱۲-۲): نمودار فرعی تغییر سرعت شعاعی در یک رژیم شارش پایا برای دو نیروی خارجی مختلف.....	۲۳
شکل(۱۳-۲): جریان لغزشی در یک لوله با شعاع R و طول لغزش δ در مقایسه با جریان غیرلغزشی در یک لوله با شعاع موثر $R + \delta$	۲۳
شکل(۱۴-۲): نanolوله‌ی با دیواره‌های پوشیده شده از برس پلیمری که بایندر و همکارانش در شبیه-سازی خود به کار برند.....	۲۴
شکل(۱۵-۲): سینتیک شاره بالارونده در یک موبین.....	۲۵
شکل (۱۶-۲): مجدور ارتفاع انحنا بر حسب زمان برای یک nanololle پوشیده شده از پلیمرترشوند.....	۲۵
شکل(۱۷-۲): تعداد اتم‌های زنون (n) در نانوسیلندر بر حسب زمان.....	۲۷
شکل(۱۸-۲): لایه تماسی و ناحیه مغزی در حضور یک محدودیت استوانه‌ای.....	۲۹
شکل(۱۹-۲): طرح‌واره ساختار یک مایع ساده محدودشده بین دو دیواره موازی و نیروی حلال‌بُوشی بر حسب فاصله.....	۳۳
شکل(۲۰-۲): ابزار اندازه گیری نیروی سطحی ساخته شده توسط ایترایچویلی و همکاران	۳۴
شکل(۲۱-۲): ابزار نیروی سطحی سه محوری ساخته شده توسط جرج و همکاران.....	۳۵
شکل(۲۲-۲): طرح‌واره دستگاه اندازه گیری نیروی SFA.....	۳۶
شکل(۲۳-۲): نیروی سطحی تعادلی بین دو ورقه نازک میکا در OMCT.....	۳۷
شکل(۲۴-۲): عکس ملکول OMCT.....	۳۷
شکل(۲۵-۲): لایه مرزی D_s چسبیده به هر یک از سطوح محدود کننده شاره.....	۳۹
شکل(۲۶-۲): نتایج آزمایشات انجام شده توسط چان و هورن بر روی آبکشی فیلم‌های نازک OMCT.....	۴۰
شکل(۲۷-۲): نتایج آزمایشات انجام شده توسط چان و هورن بر روی آبکشی فیلم‌های نازک تترادکان و هگزادکان.....	۴۱
شکل(۲۸-۲): میانگین شدت نور عبوری از سطح تماس به صورت تابعی از زمان، در حین خروج مایع از بین صفحات.....	۴۳
شکل(۲۹-۲): طرح‌واره فرایند خروج لایه‌ای از $n = ۳$ به $n = ۲$	۴۴
شکل(۳۰-۲): طرح شماتیک چگالی موضعی مایعی با ذرات کروی بر حسب فاصله بین صفحات جامد.....	۴۴
شکل(۳۱-۲): نمودار تغییرات چگالی شاره به صورت تابعی از فاصله دیواره به ازای مقادیر مختلف $\sigma_{f_w}^*$	۴۵
شکل(۳۲-۲): پدیده لایه‌شدگی در حضور دو دیواره ناصاف متحرک.....	۴۵
شکل(۳۳-۲): طرح‌واره گذار بین یک فیلم لایه شده اما شاره به ضخامت $1 + n_c$ لایه ملکولی به یک فیلم لایه شده اما منجمد شده به ضخامت n_c	۴۶
شکل(۳۴-۲): ساختار مایع ساده.....	۴۹
شکل(۳۵-۲): تابع توزیع شعاعی برای یک مایع ساده.....	۴۹

شکل (۳۶-۲): آرایه‌ی بلوری دوبعدی ذرات کروی	۵۰
شکل (۳۷-۲): تابع توزیع شعاعی برای یک جامد بسیار منظم	۵۰
شکل (۳۸-۲): توابع توزیع شعاعی برای آرگون مایع و جامد در نقطه سه‌گانه	۵۱
شکل (۱-۳): نیکلاس متروپلیس (۱۹۱۵-۱۹۹۹)	۵۴
شکل (۲-۳): نحوه بدستآوردن یک پیکربندی جدید از پیکربندی قبلی را در یک شبیه‌سازی مونت-کارلو نشان می‌دهد.	۶۰
شکل (۳-۳): نمودار تغییرات فشار، انرژی پتانسیل، انرژی جنبشی سیستم و انرژی کل ذره با زمان در آنسامبل کانونی	۶۴
شکل (۴-۳): وابستگی به فاصله در پتانسیل لنارد-جونز	۶۶
شکل (۵-۳): ساختار لایه‌ای گرافیت در یک حفره شکافی	۶۷
شکل (۱-۴): پارامتر نظم سیستمی با پهنه‌ای σ_{ff} بر حسب مضارب مختلف σ_{ff}	۷۵
شکل (۲-۴): نانوحفره مکعبی طویل با مقطع مربع	۷۶
شکل (۳-۴): نمودار چاه پتانسیل در نانوحفره	۷۷
شکل (۴-۴): نانوحفره مکعبی با دیواره‌های گرافیتی	۷۷
شکل (۵-۴): طرح شماتیکی پهنه‌ای فیزیکی و پهنه‌ای قابل دسترس حفره و بخش‌های جاذب و دافع پتانسیل	۷۹
شکل (۶-۴): تصاویر گرفته شده از مقاطع مختلف پیکربندی فضای فاز سیستم در $T^* = 1$ و $\varepsilon_{wf}^* = 0$	۸۲
برای نانوحفره‌ای با پهنه‌ای σ_{ff}	
شکل (۷-۴): نمودار انرژی پتانسیل کاهش‌یافته با قدرت اندرکنش $\varepsilon_{wf}^* = 0/2$ به صورت تابعی از فاصله از دیواره، برای پهنه‌های مختلف منطبق بر σ_{ff} , $2\sigma_{ff}$, $3\sigma_{ff}$, $4\sigma_{ff}$ و $5\sigma_{ff}$	۸۳
شکل (۸-۴): تصاویر گرفته شده از مقاطع مختلف پیکربندی فضای فاز سیستم در $T^* = 1$ و $\varepsilon_{wf}^* = 1/2$	۸۵
برای نانوحفره‌ای با پهنه‌ای σ_{ff}	
شکل (۹-۴): تصاویر گرفته شده از مقاطع مختلف پیکربندی فضای فاز سیستم در $T^* = 1$ و $\varepsilon_{wf}^* = 1/2$	۸۶
برای نانوحفره‌ای با پهنه‌ای σ_{ff}	
شکل (۱۰-۴): تصاویر گرفته شده از مقاطع مختلف پیکربندی فضای فاز سیستم در $T^* = 1$ و $\varepsilon_{wf}^* = 1/2$	۸۷
برای نانوحفره‌ای با پهنه‌ای σ_{ff}	
شکل (۱۱-۴): تصاویر گرفته شده از مقاطع مختلف پیکربندی فضای فاز سیستم در $T^* = 1$ و $\varepsilon_{wf}^* = 1/2$	۸۸
برای نانوحفره‌ای با پهنه‌ای σ_{ff}	
شکل (۱۲-۴): تصاویر گرفته شده از مقاطع مختلف پیکربندی فضای فاز سیستم در دمای $T^* = 1$ و $\varepsilon_{wf}^* = 1/2$, برای نانوحفره‌ای با پهنه‌ای σ_{ff}	۸۹
شکل (۱۳-۴): نمودارهای چگالی شاره در راستای X را برای نانوحفره‌هایی با پهنه‌ای σ_{ff} و $5\sigma_{ff}$ در دو حالت $\varepsilon_{wf}^* = 0$ و $\varepsilon_{wf}^* = 1/2$	۹۱

- شکل(۱۴-۴): نمودار تغییرات پارامتر نظم انتقالی سیستم با تغییر پهنهای نانوحفره و در حضور ε_{wf}^* ، در دمای $T^* = 1$ ۹۳
- شکل(۱۵-۴): نمودارهای چگالی آرگون را برای نانوحفرهایی با پهنهای σ_{ff} ، $\sigma_{ff}^{3/5}$ و $\sigma_{ff}^{4/5}$ در ε_{wf}^* و در دمای $T^* = 1$ ۹۴
- شکل(۱۶-۴): تصاویر گرفته شده از مقطع XZ پیکربندی فضای فاز سیستم در دمای $T^* = 1$ و $\varepsilon_{wf}^* = 1/2$ ، برای نانوحفرهایی با پهنهای $\sigma_{ff}^{3/5}$ و $\sigma_{ff}^{3/5}$ ۹۵
- شکل(۱۷-۴): پتانسیل کاهش یافته شاره-دیواره نانوحفره برحسب فاصله از مرکز نانوحفره برای دو پهنهای متفاوت و به ازای مقادیر مختلف ε_{fw}^* ۹۶
- شکل(۱۸-۴): تصاویر گرفته شده از پیکربندی فضای فاز مربوط به نانوحفرهایی با پهنهای σ_{ff}^4 در دمای $T^* = 1$ به ازای مقادیر مختلف ε_{fw}^* ۹۷
- شکل(۱۹-۴): نمودارهای چگالی آرگون برای نانوحفرهایی با پهنهای σ_{ff}^4 در دمای $T^* = 1$ و به ازای مقادیر مختلف ε_{fw}^* ۹۸
- شکل(۲۰-۴): نمودار تغییرات پارامتر نظم انتقالی سیستم با تغییر پارامتر قدرت پتانسیل برای نانوحفرهایی با پهنهای σ_{ff}^4 ۹۹
- شکل(۲۱-۴): نمودارهای چگالی آرگون برای نانوحفرهایی با پهنهای σ_{ff}^{10} در دمای $T^* = 1$ و به ازای مقادیر مختلف ε_{fw}^* ۱۰۰
- شکل(۲۲-۴): نمودار تغییرات پارامتر نظم انتقالی سیستم با تغییر پارامتر قدرت پتانسیل در دو نانوحفره با مساحت سطح مقطع متفاوت ۱۰۲
- شکل(۲۳-۴): نمودارهای چگالی آرگون را برای نانوحفرهایی با پهنهای σ_{ff}^4 در حالت $\varepsilon_{wf}^* = 0$ و به ازای دماهای مختلف ۱۰۳
- شکل(۲۴-۴): تصاویر گرفته شده از پیکربندی فضای فاز سیستمی با پهنهای σ_{ff}^4 برای $\varepsilon_{wf}^* = 1/2$ در دو دمای مختلف ۱۰۵
- شکل(۲۵-۴) : نمودارهای چگالی آرگون برای نانوحفرهایی با پهنهای σ_{ff}^4 به ازای دماهای مختلف و در حضور دیواره با قدرت اندرکنش $\varepsilon_{wf}^* = 1/2$ ۱۰۶
- شکل(۲۶-۴): نمودار تغییرات پارامتر نظم انتقالی سیستم با تغییر دما برای نانوحفرهایی با پهنهای σ_{ff}^4 و در حضور دیوارهای با پارامتر قدرت پتانسیل $\varepsilon_{wf}^* = 1/2$ ۱۰۷
- شکل(۲۷-۴): نمودار تغییرات پارامتر نظم انتقالی سیستم با دما را برای نانوحفرهایی با پهنهای σ_{ff}^4 و به ازای سه مقادیر مختلف پارامتر قدرت پتانسیل ۱۰۹
- شکل(۲۸-۴): نمودار تغییرات پارامتر نظم انتقالی سیستم با تغییر دما، برای نانوحفرهایی با پهنهای σ_{ff}^{10} و در حضور دیوارهای با پارامتر قدرت پتانسیل $\varepsilon_{wf}^* = 1/2$ ۱۱۰
- شکل(۲۹-۴): تصاویر گرفته شده مربوط به مقطع XZ پیکربندی‌های فضای فاز، به ازای مقادیر مختلف σ_{wf}^* و ε_{fw}^* ۱۱۲

- شکل (۳۰-۴) : نمودارهای آرگون برای نانوحفه‌ای با پهنای دردسترس $\sigma_{ff} = 4$ و در حضور دیواره با قدرت اندرکنش $\epsilon_{wf}^* = 0/2$ و $\sigma_{wf}^* = 1/2$ ۱۱۳
- شکل (۳۱-۴) : نمودار تغییرات پارامتر نظم انتقالی در راستای X سیستم را بر حسب σ به ازای دو مقدار پارامتر قدرت پتانسیل $\epsilon_{wf}^* = 1/6$ و $\epsilon_{wf}^* = 0/2$ ۱۱۴
- شکل (ب-۱) : سلول‌های شبکه واحد سطحی را برای کریستال‌های در نظر گرفته شده ۱۲۹
- شکل (ج-۱) : حفره شکافی (نانوشکاف) متشکل از صفحات گرافیتی نامحدود ۱۳۲

فصل اول

نظریه ماکروسکوپیکی مویینگی

۱- نظریه ماکروسکوپیکی مویینگی

۱-۱ مویینگی

مویینگی در واقع توانایی یک ماده در کشیدن یک مایع دیگر به داخل خود است. مثال استاندارد آن لوله-ای است که به صورت قائم در تماس با یک مایع ترکننده قرار می‌گیرد و مقداری از مایع در لوله بالا می-رود، البته این پدیده را می‌توان در مورد یک کاغذ نیز مشاهده کرد. بسیاری از فرایندهای طبیعی و فعالیت‌های بشر با کمک پدیده مویینگی اتفاق می‌افتد. برای مثال آب موجود در لایه‌های بالایی خاک به داخل گیاهان کشیده می‌شود و در آن‌ها حرکت می‌کند و یا توانایی نفوذ مایعات به داخل حفره‌های باریک و صخره‌هایی که دارای دیواره ترکننده هستند ناشی از اثر مویینگی است. شناخت پدیده مویینگی و قوانین حاکم بر آن در استحصال روغن از دانه‌های روغنی، چاپگرهای جوهری، رنگرزی محصولات نساجی و زمینه‌های دیگر دارای اهمیت است. در مقیاس نانو نیز پرشدن نانولوله‌های کربنی توخالی، امکان تولید نانوساختارهای یک‌بعدی را فراهم می‌کند^[۱]. به همین دلیل مویینگی از مباحث مورد علاقه در صنعت و علوم پایه به شمار می‌رود.

لئوناردو داوینچی^۱ اولین کسی است که پدیده مویینگی را مشاهده نموده و آن را در نوشته‌هایش به ثبت رسانده است. او در مورد این پدیده چنین نتیجه‌گیری کرد که ورود یکباره حجمی از مایع به داخل لوله، به دلیل وجود شبکه‌ای از مویینهای نرم که قادر به جذب (بالا بردن آب) هستند اتفاق می‌افتد. رووالت^۲ (۱۶۲۰-۱۶۷۵) عقیده داشت که آب توانایی لازم برای انتشار در یک لوله باریک را ندارد به همین دلیل برای بالارفتن مایع در لوله باید خلاً ایجاد شود. مونتاناری^۳ (۱۶۳۳-۱۶۸۷) که یک منجم بود، بالارفتن مایع در یک لوله را با بالا رفتن شیره در یک گیاه مقایسه نمود. بُرلی^۴ (۱۶۰۸-۱۶۷۹) که به دلیل مشاهداتش از ماههای سیاره مشتری و تحقیقاتش در مورد تحرک حیواناتی که قادر به فرار نبودند به خوبی شناخته شده و معروف است، در سال ۱۶۷۰ تشریح کرد که ارتفاع مایعی که در لوله بالا می‌رود با شعاع لوله نسبت عکس دارد.

¹. Leonardo Davinci

². J.Rohault

³. G.Montanari

⁴. G.Borelli

اما ستاره واقعی در این داستان مردی است که امروزه به ناحق به فراموشی سپرده شده است. هوکس‌بی^۵ (۱۷۱۲) کسی است که این پدیده را برای اولین بار به یک روش سیستماتیک مورد مطالعه قرارداد. او با انجام یک سری از آزمایشات که اغلب با الكل و لوله شیشه‌ای انجام می‌شد به نتایج زیر دست یافت :

- ۱- بالارفتن مایع در هوا هم به خوبی خلاً انجام می‌شود. بدین ترتیب نظریه روhalt را که در آن مویینگی بدون وجود خلاً معتبر نیست، نقض کرد.
- ۲- این اثر مخصوص ظروف استوانه‌ای نیست. در بین دو صفحه موازی نزدیک به هم نیز مایع به خوبی بالا می‌رود اما ارتفاع مایع نصف ارتفاع آن در یک لوله با شعاعی مساوی فاصله بین صفحات است.
- ۳- بررسی این اثر با استفاده از دیگر مایعات مانند الكل، انسانس سقر، روغن معمولی و دیگر جامداتی مانند سنگ مرمر و آلیاژ برنج نیز انجام شده است.
- ۴- ارتفاع مایع به ضخامت دیوارهای لوله بستگی ندارد. هوکس‌بی با به کاربردن دو لوله که دارای شعاع‌های داخلی یکسان اما شعاع‌های خارجی متفاوت بودند، مشاهده کرد که مایع در هردو لوله به یک ارتفاع بالا می‌رود.

هوکس‌بی یکی از همقطاران ایساک نیوتن بود. نیوتن این آزمایشات مختلف را در رساله مشهور خود به نام «Optics» تشریح کرده است اما متأسفانه نامی از هوکس‌بی نبرده است. در ۱۷۱۲ ریاضی دانی به نام تیلر^۶ - پدر بسطهای تیلور در ریاضی - آزمایشی را روی اثرات مویینگی بین دو صفحه شیشه‌ای موازی بسیار نزدیک به هم، به شکل یک گوه با زاویه بسیار کوچک انجام داد. او در حین این آزمایش مشاهده کرد که اولاً کاهش فاصله بین دو صفحه موجب افزایش ارتفاع بالارفتن مایع می‌شود و ثانیاً مرز مایع، هذلولی شکل به نظر می‌رسد. البته این مشاهدات توسط آزمایشات دقیق هوکس‌بی تصدیق شده بود. هیچ‌یک از افرادی که در بررسی قانون بالا آمدن ناشی از مویینگی مشارکت داشتند نتوانستند به این بررسی‌ها خاتمه دهند و به نتیجه مطلوب دست یابند. در این میان فیزیولوژیست انگلیسی گورین^۷ (۱۶۸۴-۱۷۵۰) در سال ۱۷۱۸ نشان داد ارتفاعی که مایع بالا می‌رود با شعاع لوله نسبت معکوس دارد و همین امر موجب شهرت یافتن او شد^[۲]. فهم موفقیت‌آمیز چگونگی بالارفتن ناشی از مویینگی، یکی از موفقیت‌های علم فیزیک است که در قرن نوزدهم (۱۸۰۶)، توسط یانگ و لاپلاس مطرح شد. اولین مقاله در مورد مویینگی را آلبرت انیشتین تحت عنوان «نتایج پدیده‌ی مویینگی» در ۱۹۰۱ در Annalen der physik چاپ کرد و در ۱۹۰۵ نیز چهار مقاله بنیادی دیگر درباره این پدیده در همین ژورنال به چاپ رسانید. قوانین اساسی حاکم بر مویینگی در یک قرن پیش و تقریباً از ۱۹۱۸ به بعد مورد بررسی قرار گرفته است^[۳].

⁵ . F.Hauksbee

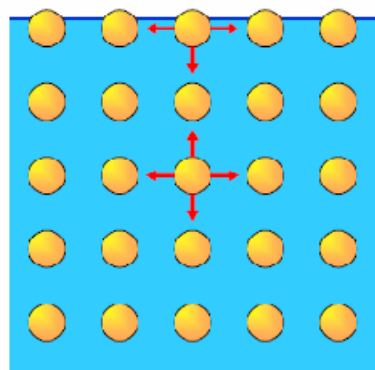
⁶ . B.Tylor

⁷ . J.Gurin

بسیاری از پدیده‌ها مثل کشش سطحی^۸، مویینگی و چسبندگی شاره‌ها را می‌توان با استفاده از نیروهای جاذبه بین مولکول‌ها توجیه کرد. اگر مولکول‌ها خیلی به هم نزدیک باشند نیروهای میان آن‌ها دافعه و در غیر این صورت جاذبه است.

پدیده بالارفتن یا پایین آمدن مایع در مویین‌ها ناشی از کشش سطحی و مقدار نسبی نیروهای پیوستگی^۹ (نیروی جاذبه بین مولکول‌های مایع به یکدیگر) و چسبندگی^{۱۰} (نیروی جاذبه بین مولکول‌های جامد و مایع) است. هنگامی که نیروهای چسبندگی بین مولکول‌های مایع و ماده دیگر قوی‌تر از نیروهای پیوستگی بین مولکول‌های داخل مایع باشد، مویینگی اتفاق می‌افتد و مایع جامد را تر می‌کند و در محل تماس مایع با یک سطح عمودی انحنا تشکیل می‌شود.

کشش سطحی، ۲، انرژی آزاد مورد نیاز برای ایجاد واحد مساحت سطح است. نیروی کششی که بر واحد طول خط تماس در سطح وارد می‌شود، فصل مشترک تلاش می‌کند تا در غیاب میدان خارجی، مساحت سطح را کمینه کند و بنابراین انرژی آزاد سطح کمینه می‌شود. ۲ در سطح ملکولی از آن جا ناشی می‌شود که یک ملکول به‌طور میانگین، در فصل مشترک در سمت فاز چگال‌تر (مثل مایع) جاذبه قوی‌تری را تجربه می‌کند (شکل ۱-۱). مفهوم کشش سطحی بر فصل مشترک جداکننده دو فاز کپهای دلالت می‌کند [۶,۵].



شکل (۱-۱): هر یک از مولکول‌ها توسط دیگر مولکول‌های درون شاره کپهای به‌صورت متقارن جذب می‌شوند. اما یک مولکول سطح به‌صورت نامتقارن توسط دیگر مولکول‌ها جذب می‌شود. مولکول مایع در سطح جاذبه کمتری را احساس می‌کند، پس انرژی بیشتری دارد.

برای مثال هنگامی که یک لوله شیشه‌ای را در داخل مایعی مانند آب فرو می‌بریم، کشش سطحی، ستون مایع را بالا می‌کشد. بالا کشیدن مایع تا زمانی ادامه پیدا می‌کند که جرم ستون مایع به اندازه ای برسد که نیروی گرانش حاصل از آن بتواند بر نیروهای بین‌ملکولی غلبه کند. وزن ستون مایع با مربع قطر لوله و طول تماس (اطراف انحنا تشکیل شده) تنها با قطر لوله متناسب است و بنابراین ستون مایع در یک لوله باریک نسبت به یک لوله عریض بالا تر خواهد رفت (شکل ۲-۱). در مورد برخی مواد مانند جیوه و

⁸. Surface tension

⁹. Cohesion

¹⁰. Adhesion